



UNIVERSIDAD  
METROPOLITANA

# Introducción al **Toolbox** de LMIs

## CONTROL ROBUSTO

Prof. Pedro Antonio TEPPA GARRÁN



1. Ejemplo de un sistema politópico.
2. Criterio de desempeño  
Realimentación de estado y reubicación de polos.
3. Instrucciones básicas del **Toolbox de LMIs**.
4. Ejemplo de reubicación de polos.
5. TESIS



## 1. EJEMPLO DE UN SISTEMA POLITÓPICO

PLANTA  
LPV

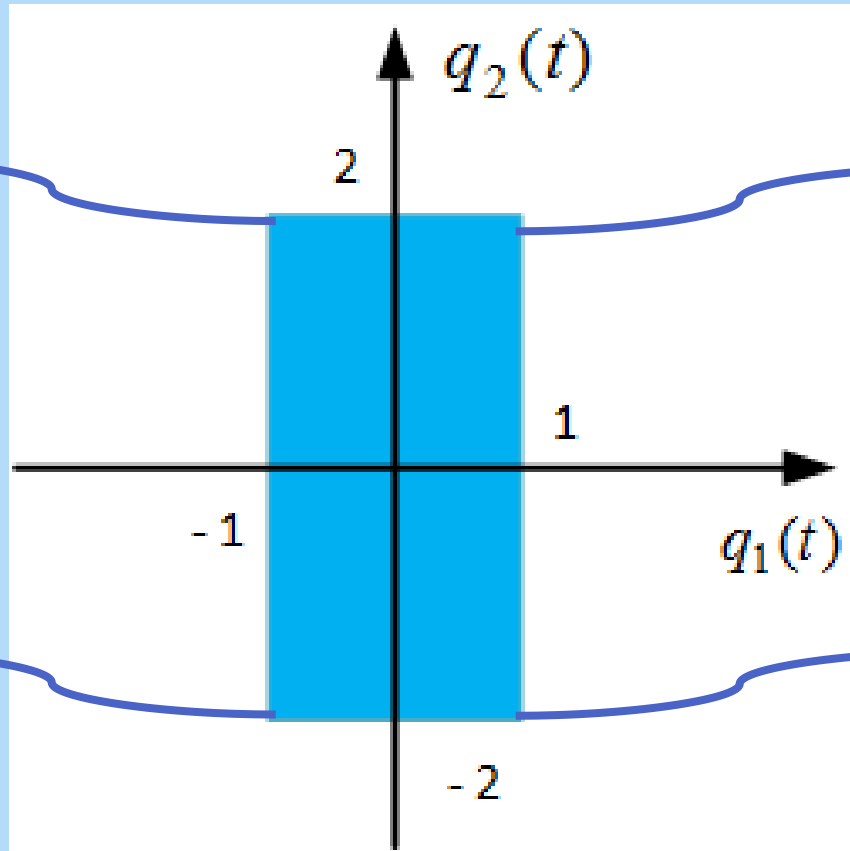
$$\left\{ \begin{aligned} \dot{\mathbf{x}}(t) &= \begin{bmatrix} 0 & 1 \\ -q_1(t) & -q_2(t) \end{bmatrix} \mathbf{x}(t) + \begin{bmatrix} 0 \\ 1 \end{bmatrix} u(t) \\ y(t) &= [1 \quad 0] \mathbf{x}(t) \end{aligned} \right.$$

$$q_1(t) \in [-1, 1]$$

$$q_2(t) \in [-2, 2]$$



$$A_2 = \begin{bmatrix} 0 & 1 \\ 1 & -2 \end{bmatrix}$$



$$A_1 = \begin{bmatrix} 0 & 1 \\ -1 & -2 \end{bmatrix}$$

$$A_3 = \begin{bmatrix} 0 & 1 \\ 1 & 2 \end{bmatrix}$$

$$A_4 = \begin{bmatrix} 0 & 1 \\ -1 & 2 \end{bmatrix}$$

$$\dot{x}(t) = A(t)x(t) + \begin{bmatrix} 0 \\ 1 \end{bmatrix} u(t)$$

$$A(t) \in \mathcal{C}_o\{A_1, A_2, A_3, A_4\}$$



## **% Polos a lazo abierto en el dominio de variación paramétrico**

figure

for q1=-1:0.05:1

for q2=-2:0.05:2

A=[0 1;-q1 -q2];

p=eig(A);

hold on

plot(real(p(1)),imag(p(1)),'\*')

plot(real(p(2)),imag(p(2)),'\*')

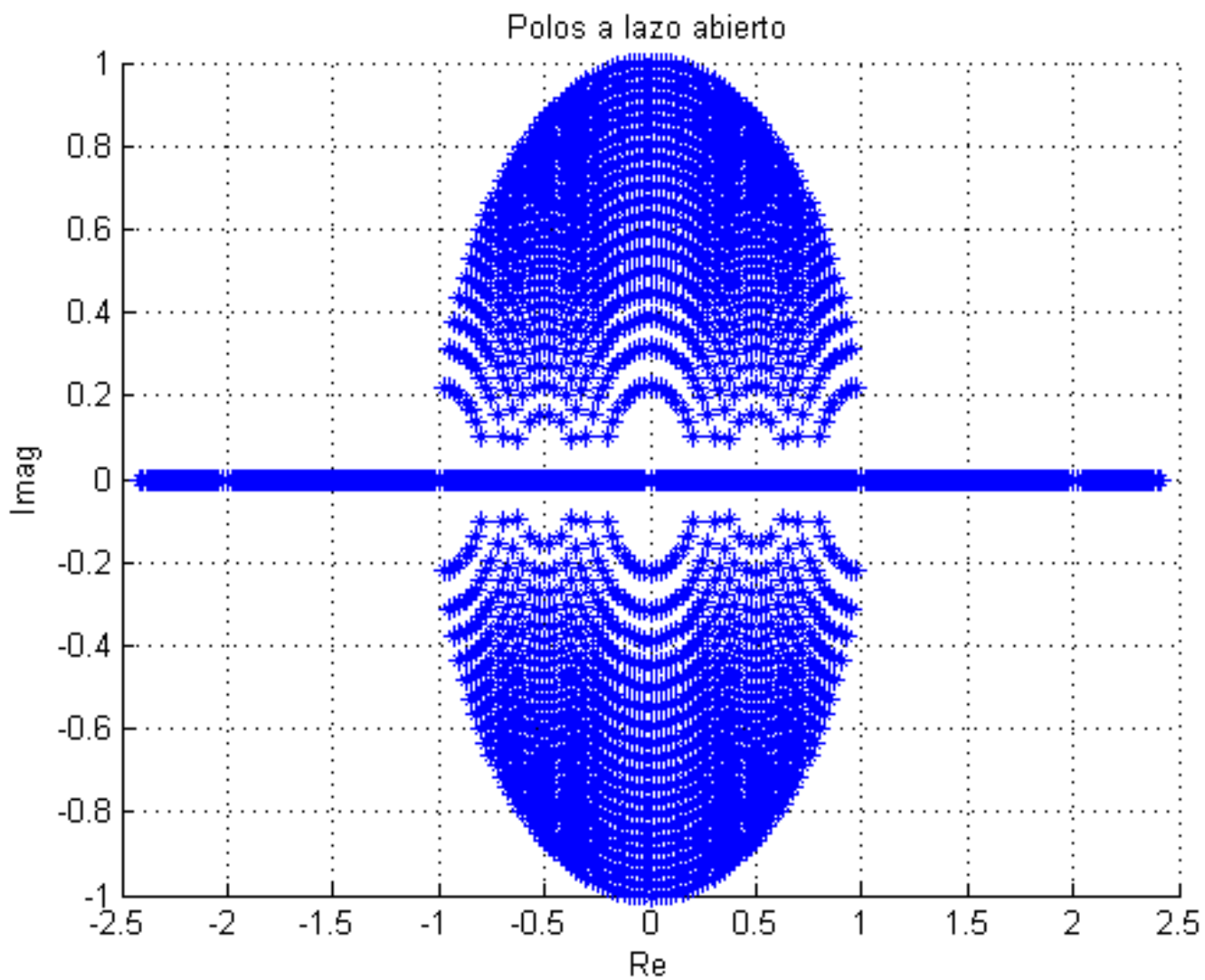
end

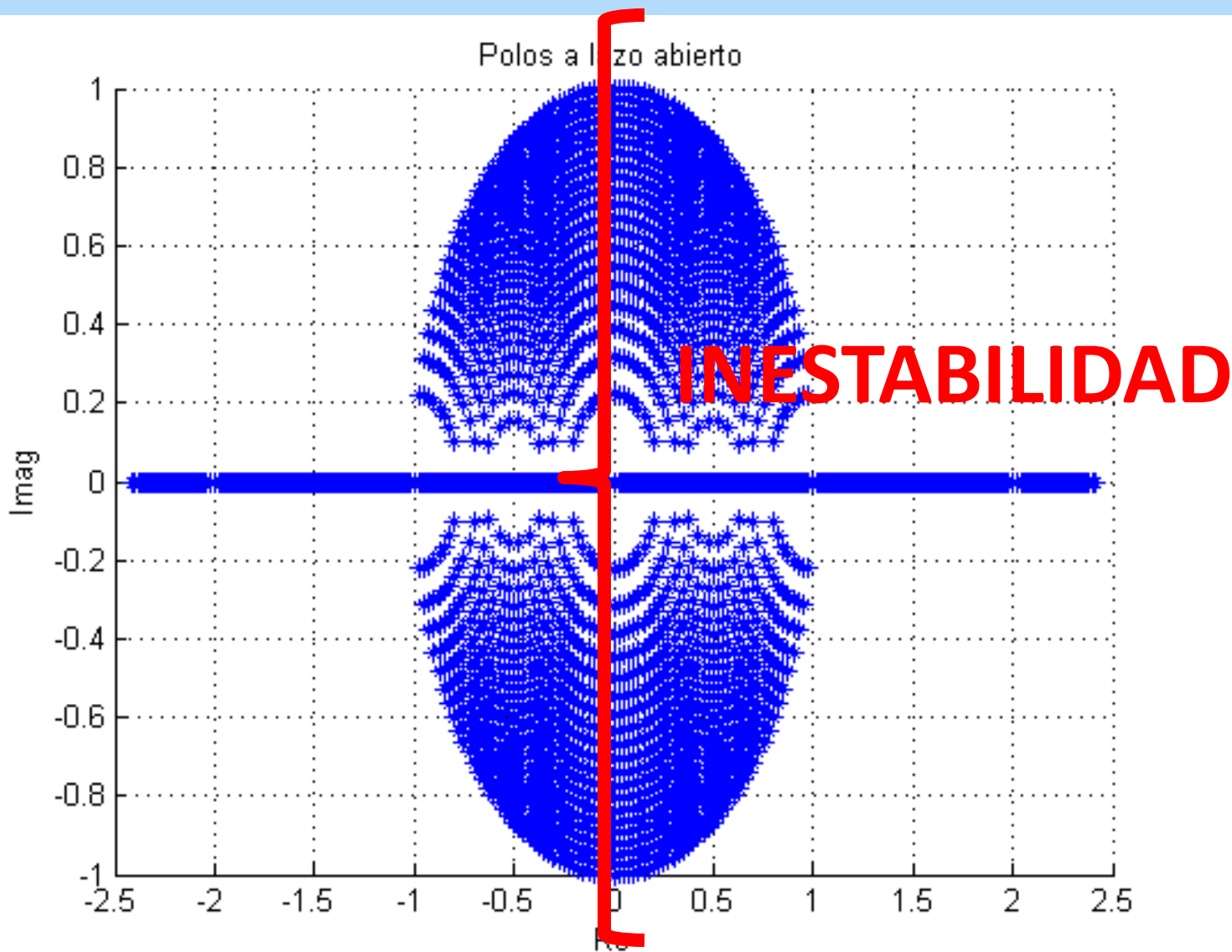
end

grid

xlabel('Re'), ylabel('Imag'), title('Polos a lazo abierto')

hold off





## 2. CRITERIO DE DESEMPEÑO

Considere el sistema lineal

$$\begin{bmatrix} \dot{x} \\ z \end{bmatrix} = \begin{bmatrix} A(t) & B(t) & B_w \\ C_z & D_{zu} & 0 \end{bmatrix} \begin{bmatrix} x \\ u \\ w \end{bmatrix} \quad (1)$$
$$[A(t), B(t)] \in Co\{(A_1, B_1), \dots, (A_N, B_N)\}$$

donde  $x \in \mathfrak{R}^n$  es el vector de estado,  $u \in \mathfrak{R}^m$  el vector de control,  $w \in \mathfrak{R}^l$  el vector de perturbación y  $z \in \mathfrak{R}^p$  es la salida controlada. El modelo del sistema a lazo cerrado con  $u = Kx$ ,  $K \in \mathfrak{R}^{m \times n}$  tiene la forma

$$\begin{cases} \dot{x}(t) = (A(t) + B(t)K)x(t) + B_w w(t) \\ z(t) = (C_z + D_{zu}K)x(t) \end{cases} \quad (2)$$



## Realimentación de estado + reubicación de polos

### Teorema 3

*El sistema lineal (1) es estabilizable por realimentación de estado  $u(t) = Kx(t)$  y sus polos a lazo cerrado se encuentran en el interior de la región LMI  $R(\alpha, \rho, \theta)$  si y solo si existen matrices  $S = S^T > 0 \in \Re^{n \times n}$  y  $R \in \Re^{m \times n}$  (arbitraria) tales que:*

$$A_i S + S A_i' + B_i R + R' B_i' + 2\alpha S < 0, \quad (7)$$

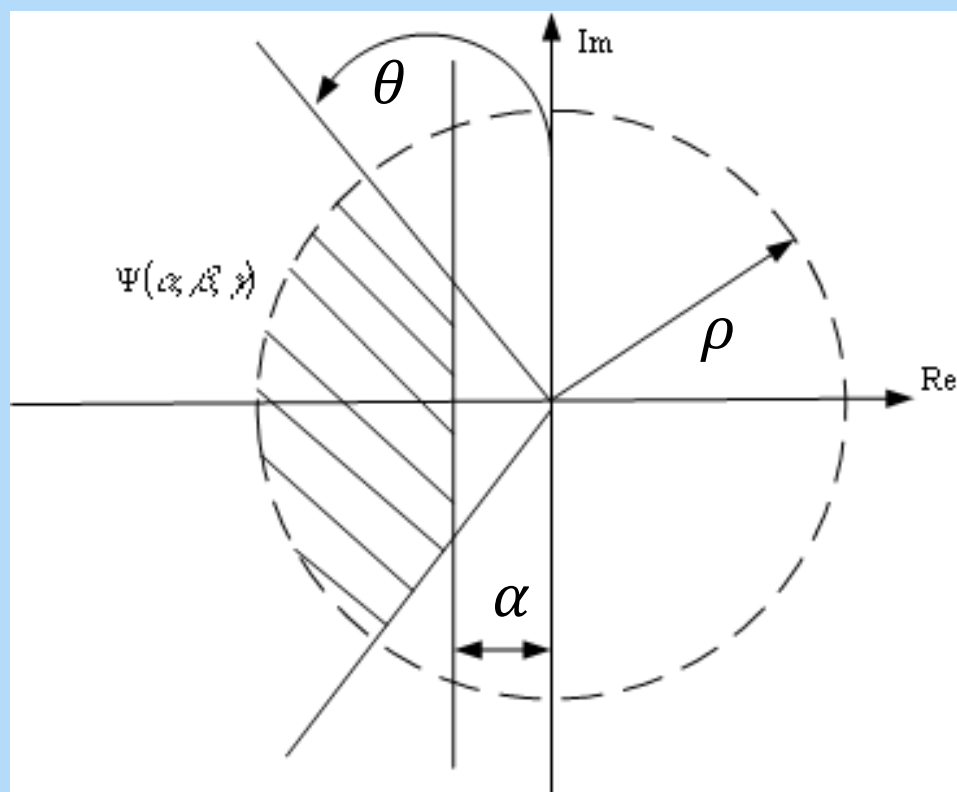
$$\begin{bmatrix} -\rho S & A_i S + B_i R \\ S A_i' + R' B_i' & -\rho S \end{bmatrix} < 0, \quad (8)$$

$$\begin{bmatrix} \sin \theta (A_i S + S A_i' + B_i R + R' B_i') & \cos \theta (A_i S - S A_i' + B_i R - R' B_i') \\ \cos \theta (S A_i' - A_i S + R' B_i' - B_i R) & \sin \theta (A_i S + S A_i' + B_i R + R' B_i') \end{bmatrix} < 0, \quad (9)$$

la ganancia estabilizante es  $K = R S^{-1}, i = 1, \dots, N$ .

## REFERENCIA

- [3] CHILALI, M y GAHINET, P. (1995) “ $H_\infty$  design with pole placement constraints: an LMI approach,” *IEEE Transactions on Automatic Control*, 41(3): 358 – 367.





### 3. INSTRUCCIONES BÁSICAS DEL TOOLBOX DE LMIs

- i. Declaración del sistema LMI (*setlmis*)
- ii. Definición de variables (*lmivar*)
- iii. Construcción del sistema LMI (*lmiterm*)
- iv. Ejecución ***solver***  
(*getlmis, feasp, mincx, dec2mat*)

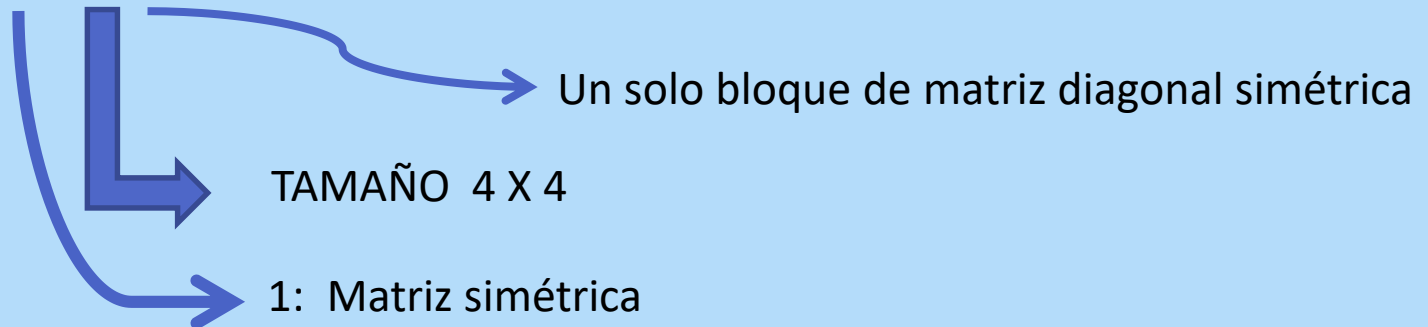


## i) `setlmi` Crear sistema LMI

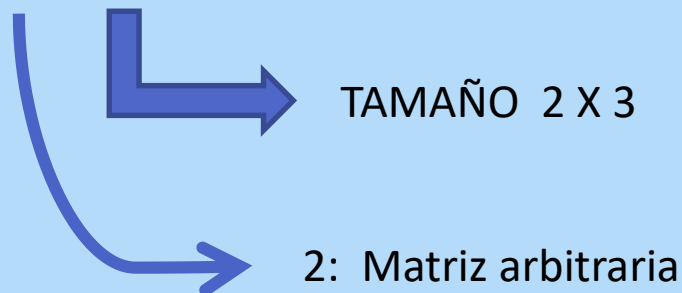
```
>> setlmi([ ]) < enter >
```

## ii) `lmivar` Definir variable tipo **matriz** en sistema LMI

```
>> S = lmivar(1, [4, 1]) < enter > % S(4, 4) matriz simétrica
```



```
>> R = lmivar(2, [2, 3]) < enter > % R(2, 3) matriz arbitraria
```





### iii) Imi term

Definir las ecuaciones del sistema LMI

$$S > 0$$

$$AS + SA^T + BR + R^T B^T + 2\alpha S < 0$$

$$\begin{bmatrix} -\rho S & AS + BR \\ R^T B^T + SA^T & -\rho S \end{bmatrix} < 0$$

| LMI                                                                               | CÓDIGO MATLAB                                                                                                                                                                                                                |
|-----------------------------------------------------------------------------------|------------------------------------------------------------------------------------------------------------------------------------------------------------------------------------------------------------------------------|
| $S > 0$                                                                           | $\gg \text{lmiterm}([-1 \ 1 \ 1 \ S], 1, 1)$                                                                                                                                                                                 |
| $AS + SA^T + BR + R^T B^T + 2\alpha S < 0$                                        | $\begin{aligned} &\gg \text{lmiterm}([2 \ 1 \ 1 \ S], A, 1, 's') \\ &\gg \text{lmiterm}([2 \ 1 \ 1 \ R], B, 1, 's') \\ &\gg \text{lmiterm}([2 \ 1 \ 1 \ S], 2 * \alpha, 1) \end{aligned}$                                    |
| $\begin{bmatrix} -\rho S & AS + BR \\ R^T B^T + SA^T & -\rho S \end{bmatrix} < 0$ | $\begin{aligned} &\gg \text{lmiterm}([3 \ 1 \ 1 \ S], -\rho, 1) \\ &\gg \text{lmiterm}([3 \ 1 \ 2 \ S], A, 1) \\ &\gg \text{lmiterm}([3 \ 1 \ 2 \ R], B, 1) \\ &\gg \text{lmiterm}([3 \ 2 \ 2 \ S], -\rho, 1) \end{aligned}$ |



## 4. EJEMPLO DE REUBICACIÓN DE POLOS

**% Realimentación de estado + reubicación de polos en región R(Alfa,Ro)**

**% Theta = 0.**

clear all

**% Planta**

A1=[0 1;-1 -2];A2=[0 1;1 -2];A3=[0 1;1 2];A4=[0 1;-1 2];

B=[0;1];

**% Especificaciones región reubicación de polos**

Alfa=3;

Ro=8;

**% Creación sistema LMI**

setlmis([])

**% Variables LMIs**

S=lmivar(1,[2 1]); % S(2,2) simétrica

R=lmivar(2,[1 2]); % R(1,2) arbitraria

**% S>0**

lmiterm([-1 1 1 S],1,1);



### **% Restricciones asociadas al parámetro Alfa**

$$\% A_1 S + S A_1^T + B R + R B + 2\alpha S < 0$$

lmiterm([2 1 1 S],A1,1,'s');

lmiterm([2 1 1 R],B,1,'s');

lmiterm([2 1 1 S],2\*Alfa,1);

$$\% A_2 S + S A_2^T + B R + R B + 2\alpha S < 0$$

lmiterm([3 1 1 S],A2,1,'s');

lmiterm([3 1 1 R],B,1,'s');

lmiterm([3 1 1 S],2\*Alfa,1);

$$\% A_3 S + S A_3^T + B R + R B + 2\alpha S < 0$$

lmiterm([4 1 1 S],A3,1,'s');

lmiterm([4 1 1 R],B,1,'s');

lmiterm([4 1 1 S],2\*Alfa,1);

$$\% A_4 S + S A_4^T + B R + R B + 2\alpha S < 0$$

lmiterm([5 1 1 S],A4,1,'s');

lmiterm([5 1 1 R],B,1,'s');

lmiterm([5 1 1 S],2\*Alfa,1);





## **% Restricciones asociadas al parámetro Ro**

### **% (A1,B)**

lmiterm([6 1 1 S],-Ro,1);

lmiterm([6 1 2 S],A1,1);

lmiterm([6 1 2 R],B,1);

lmiterm([6 2 2 S],-Ro,1);

### **% (A2,B)**

lmiterm([7 1 1 S],-Ro,1);

lmiterm([7 1 2 S],A2,1);

lmiterm([7 1 2 R],B,1);

lmiterm([7 2 2 S],-Ro,1);

### **% (A3,B)**

lmiterm([8 1 1 S],-Ro,1);

lmiterm([8 1 2 S],A3,1);

lmiterm([8 1 2 R],B,1);

lmiterm([8 2 2 S],-Ro,1);

### **% (A4,B)**

lmiterm([9 1 1 S],-Ro,1);

lmiterm([9 1 2 S],A4,1);

lmiterm([9 1 2 R],B,1);

lmiterm([9 2 2 S],-Ro,1);

$$\begin{bmatrix} -\rho S & A_i S + BR \\ SA_i^T + R^T B^T & -\rho S \end{bmatrix}$$

$$i = 1, 2, 3, 4.$$



### % Ejecución del solver

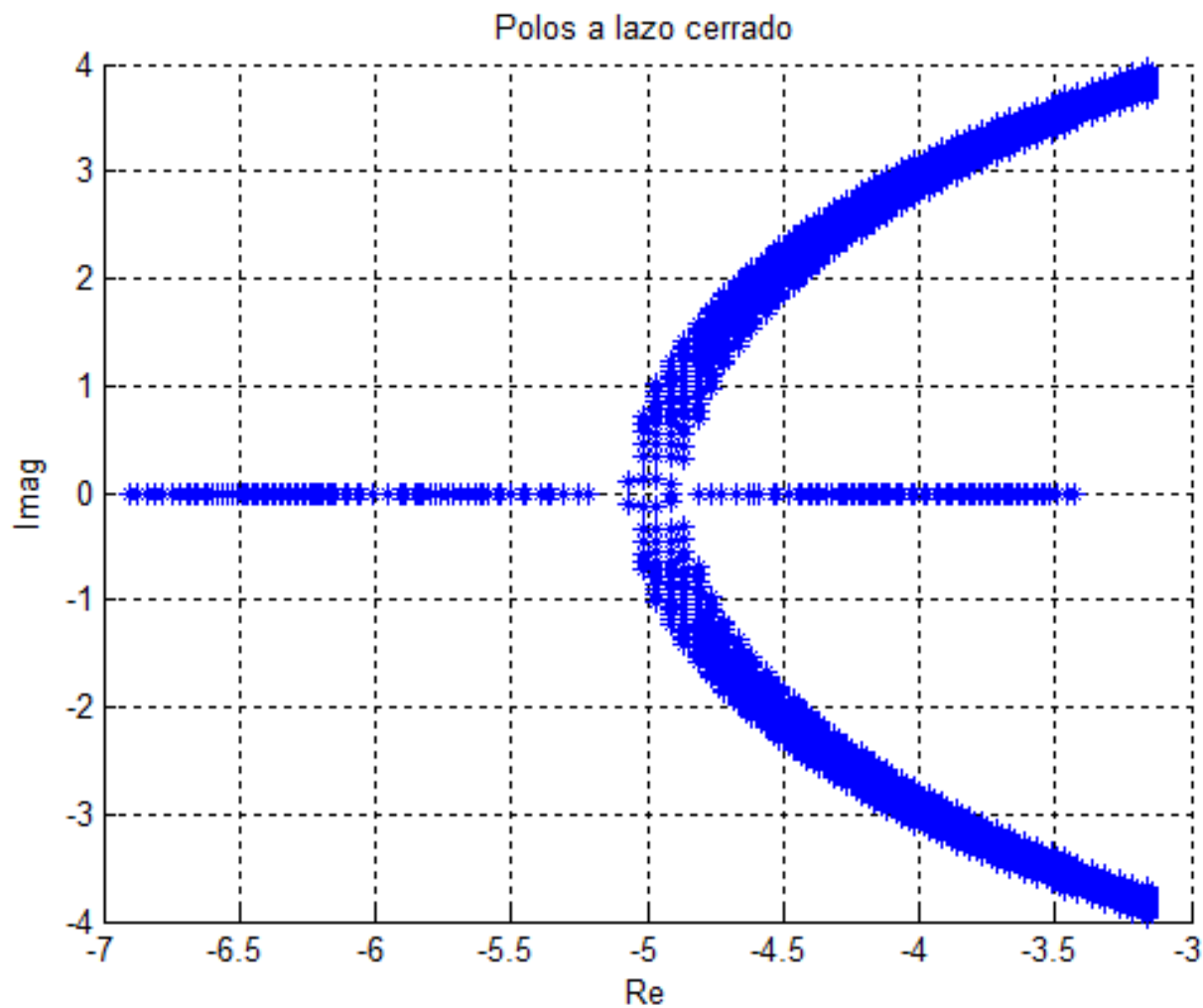
```
LMISYS=getImis;  
[tmin,xfeas]=feasp(LMISYS);
```

### % Solución

```
S=dec2mat(LMISYS,xfeas,S);  
R=dec2mat(LMISYS,xfeas,R);  
K=R*inv(S);
```

### % Polos a lazo cerrado del sistema politópico

```
figure  
for q1=-1:0.1:1  
    for q2=-2:0.1:2  
        A=[0 1;-q1 -q2];  
        p=eig(A+B*K);  
        hold on  
        plot(real(p(1)),imag(p(1)),'*')  
        plot(real(p(2)),imag(p(2)),'*')  
    end  
end  
grid  
xlabel('Re'), ylabel('Imag'), title('Polos a  
lazo cerrado')  
hold off
```



$$\alpha = 3$$
$$\rho = 8$$



Solver for LMI feasibility problems  $L(x) < R(x)$

This solver minimizes  $t$  subject to  $L(x) < R(x) + t*I$

The best value of  $t$  should be negative for feasibility

Iteration : Best value of  $t$  so far

|   |               |
|---|---------------|
| 1 | 0.152537      |
| 2 | 0.023975      |
| 3 | 0.012355      |
| 4 | 0.012355      |
| 5 | 2.357657e-03  |
| 6 | -8.680964e-04 |

Result: best value of  $t$ : -8.680964e-04

f-radius saturation: 0.000% of  $R = 1.00e+09$

$K =$

-24.6691 -8.3307

$R =$

0.0840 -3.6910

$S =$

0.0345 -0.1121

-0.1121 0.7751



## 5. TESIS

